

# L'électronique EZE\*

\*électronique et zytèmes embarqués

\* prononcé "easy"

## 1. Composants passifs en RF

- Bobin'athlon & TP schéma équivalent

## 2. Ondes dans une ligne de transmission

- TP propagation dans un câble coaxial

## 3. Recepteur radio & antenne

- TP modulation & SAE Radiogoniométrie

## 4. Smith, Paramètres [S] et adaptation d'impédance

- Escape Smith

## 5. Analyseur de réseaux (VNA)

- Mini projet caractérisation boite noire

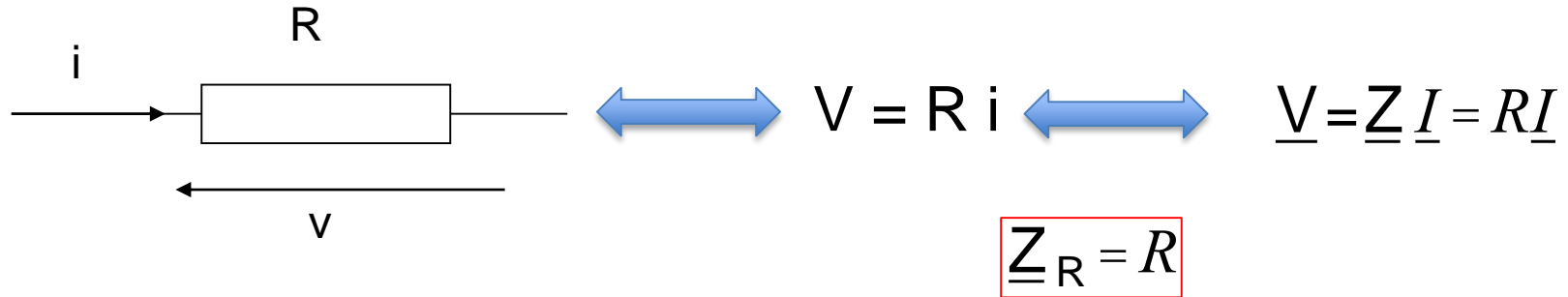
## 6. Modulations numériques

- Hack d'un coffre fort pédagogique

# Composants passifs

Quand les condensateurs deviennent  
inductifs et les inductances  
capacitives...

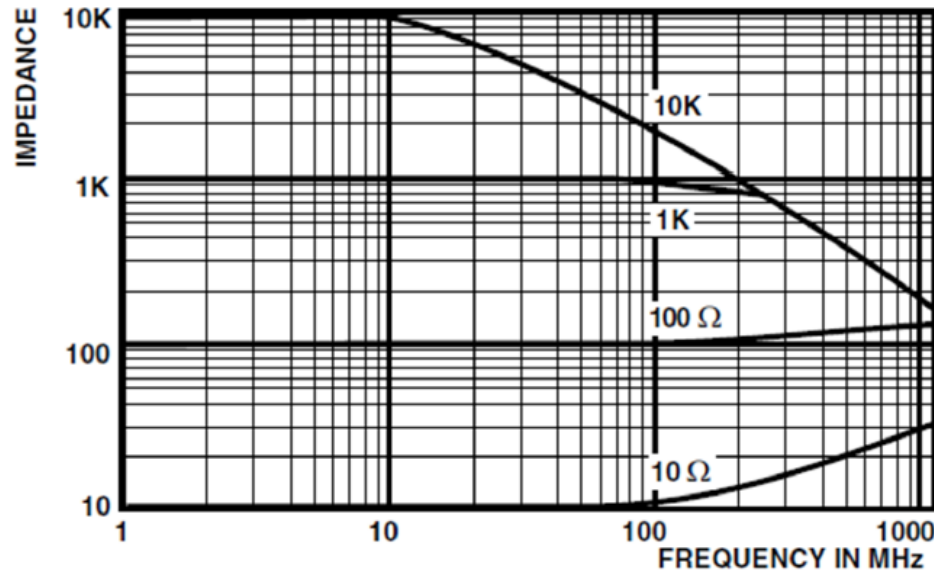
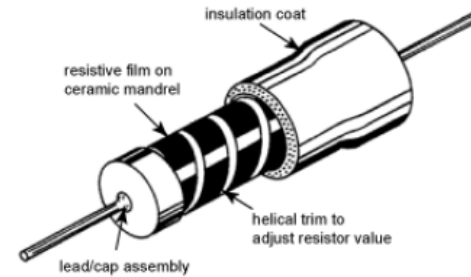
# Les composants idéaux en régime sinusoïdal



La résistance idéale est constante quand la fréquence varie

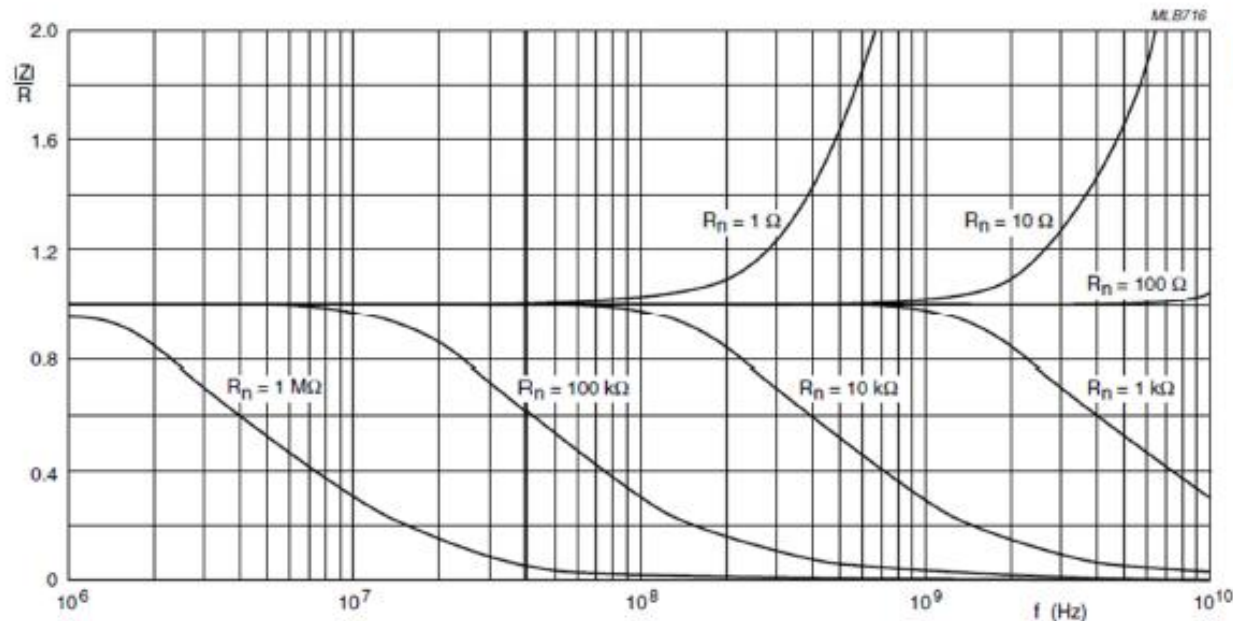
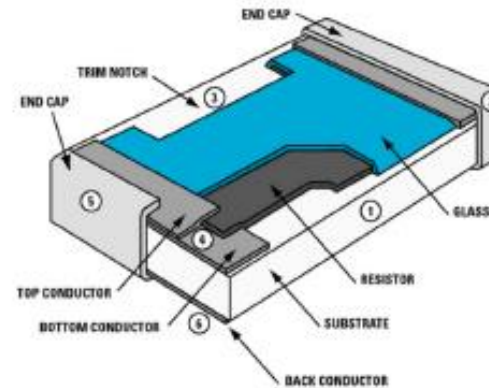
# La résistance réelle

## technologie traversante à couche de carbone



Extrait datasheet Vishay  
série E24, 1/4W  
[www.vishay.com](http://www.vishay.com)

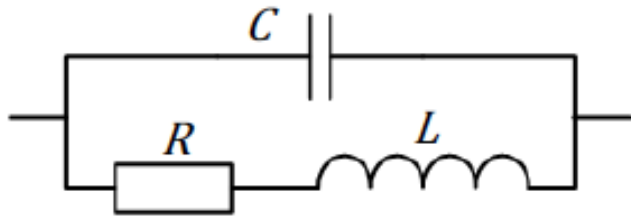
# La résistance réelle technologie CMS



Extrait datasheet Vishay  
boîtier 0603 (1.6mmx0.8mm)  
[www.vishay.com](http://www.vishay.com)

# La résistance réelle

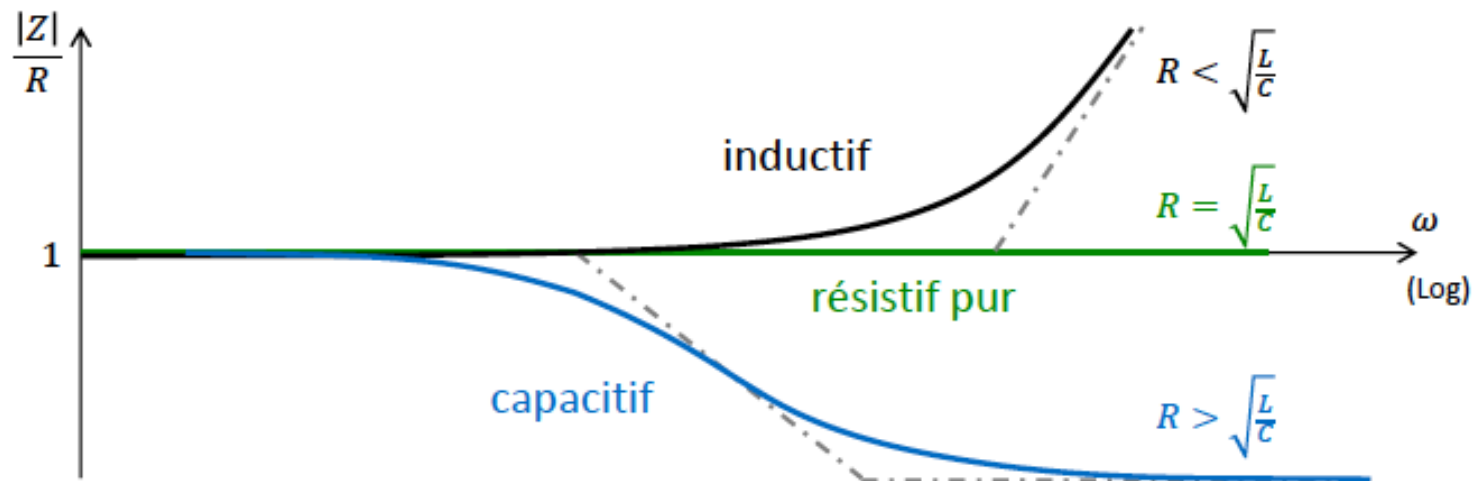
## modèle équivalent



$$\underline{Z} = R \cdot \frac{1 + j\frac{L}{R}\omega}{1 + jRC\omega + LC(j\omega)^2}$$

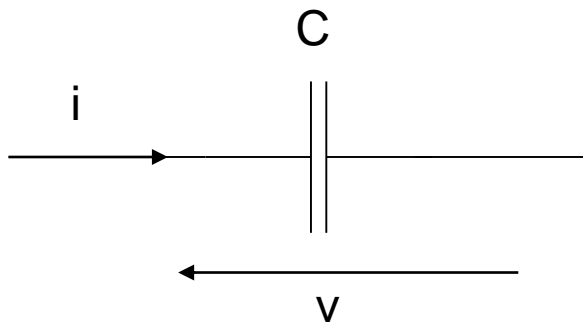
En pratique  $LC\omega^2 \ll 1$

donc :  $\underline{Z} \simeq R \cdot \frac{1 + j\frac{L}{R}\omega}{1 + jRC\omega}$  pour  $R = \sqrt{\frac{L}{C}}$  alors  $Z = R$



# Le condensateur idéal

Le condensateur idéal se modélise par une simple capacité  
 $q$  est la charge stockée, par définition  $q = C v$

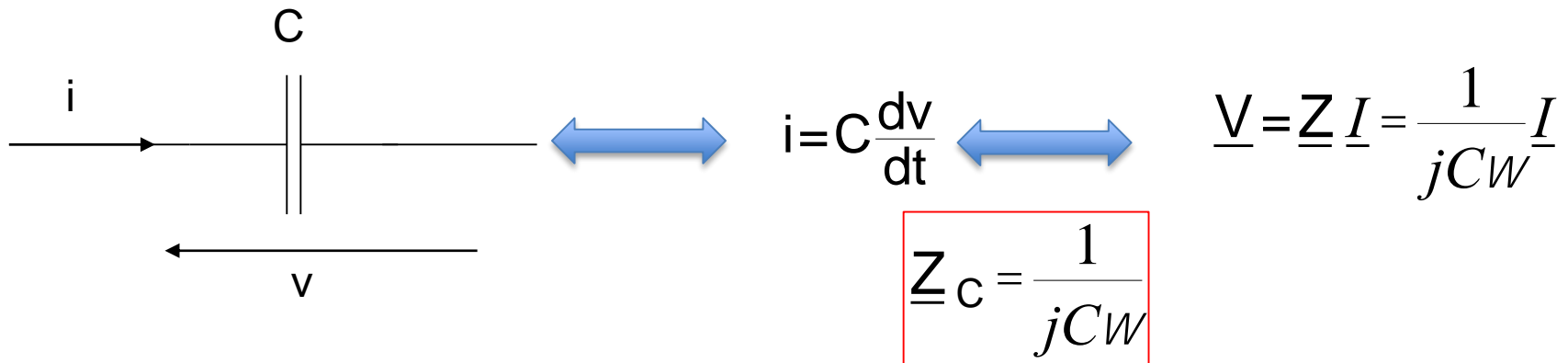


$$q = C v \quad \text{et} \quad i = \frac{dq}{dt}$$

$$i = C \frac{dv}{dt}$$

Le courant dans un circuit réel ne pouvant être infini, il ne peut y avoir de variation instantanée de tension aux bornes d'un condensateur idéal.

# Les composants idéaux en régime sinusoïdal



La condensateur idéal présente une impédance dont le module varie en  $1/f$  et dont la phase est égale à  $-\pi/2$



# Le condensateur réel technologie électrolytique

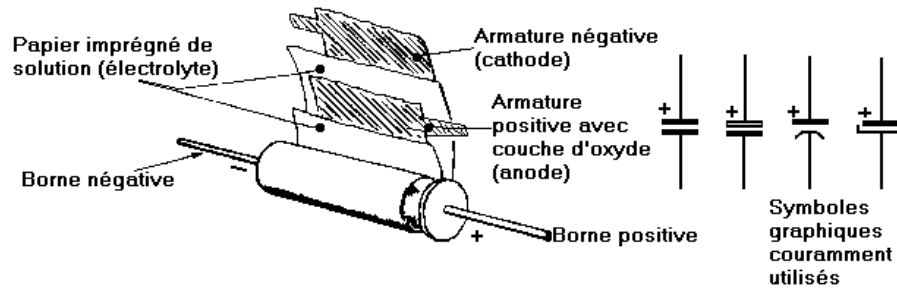
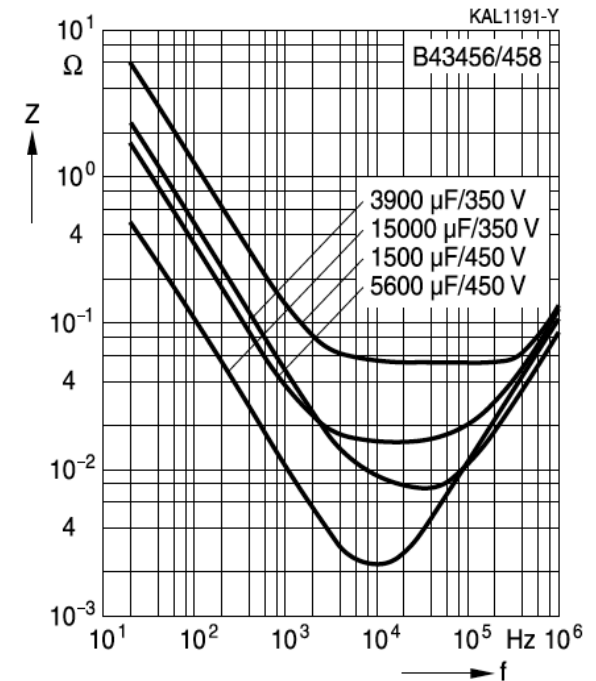


Fig. 8. - Structure d'un condensateur électrolytique au papier-aluminium.

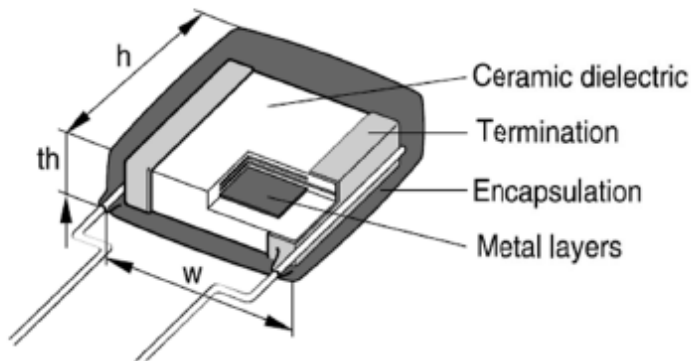


Impedance  $Z$  versus frequency  $f$   
Typical behavior at 20 °C

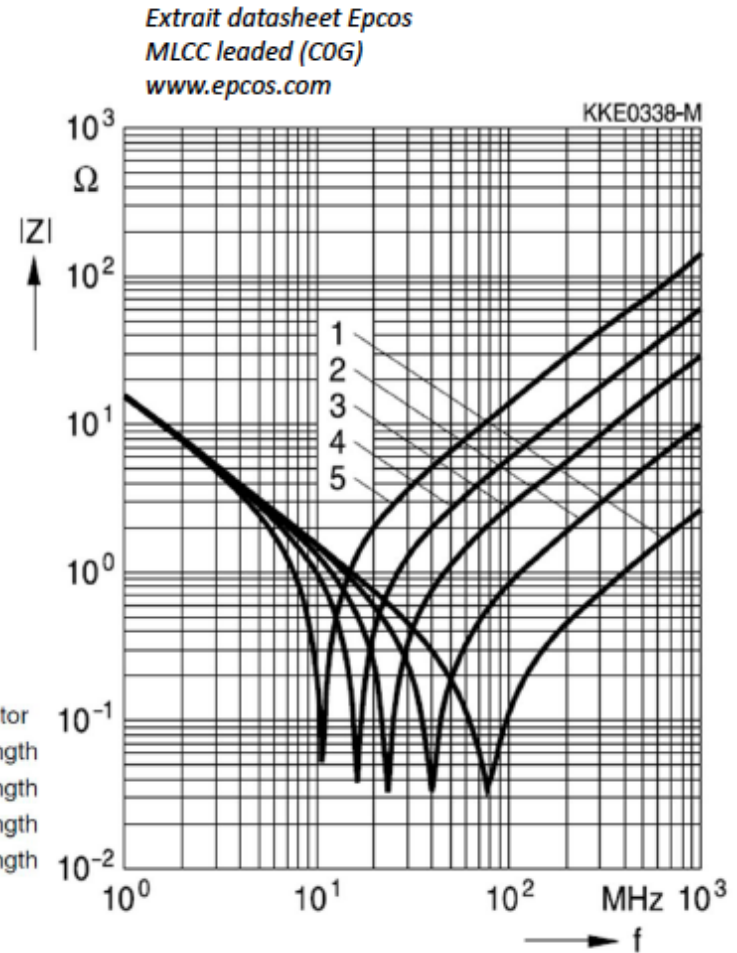


# Le condensateur réel

## technologie céramique à fils

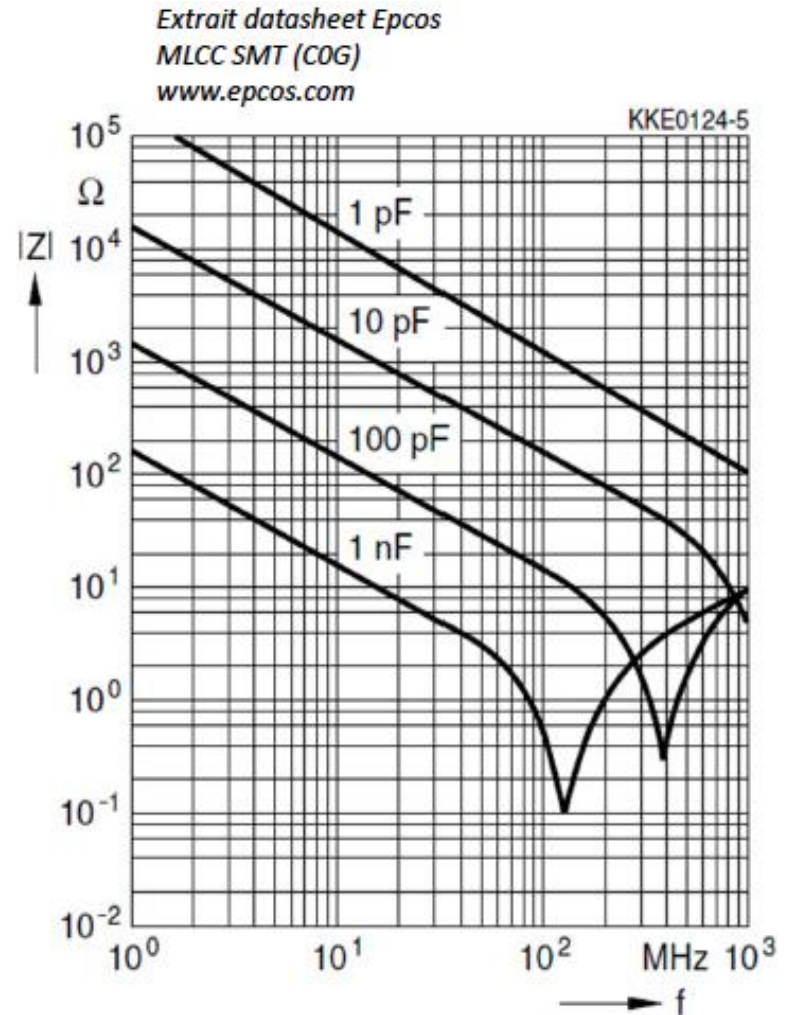
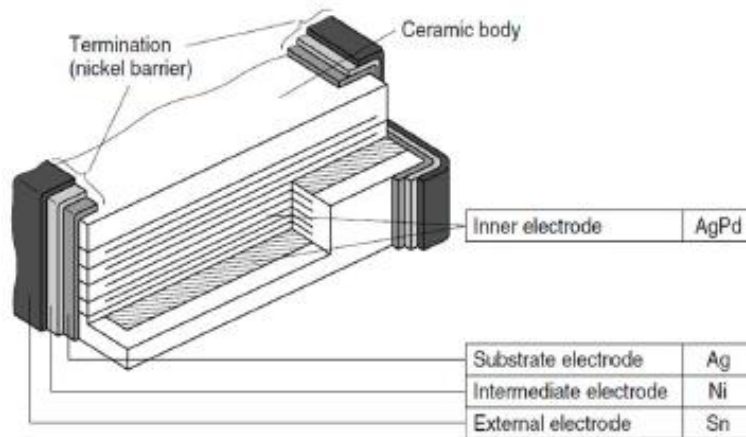


- 1: SMD chip capacitor
- 2: 1.5 mm lead length
- 3: 5.0 mm lead length
- 4: 10.0 mm lead length
- 5: 20.0 mm lead length



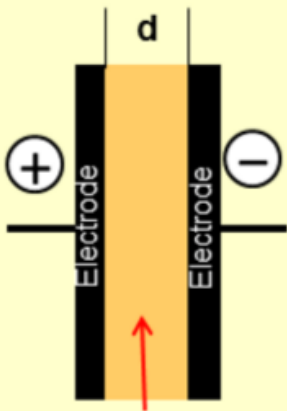
# Le condensateur réel

## technologie CMS céramique



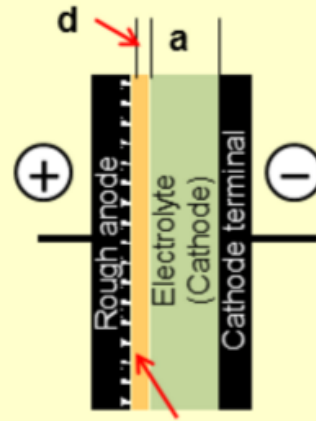
# Comparaison MLCC/électrolytique

**Ceramic-,  
Film capacitors  
etc.**



Ceramic, Film  
(dielectric)  
electrostatic storage

**Electrolytic  
capacitors**

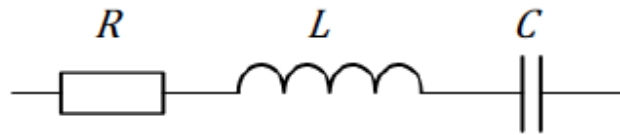


Oxide layer  
(dielectric)  
electrostatic storage

- Condensateur électrolytique :  
Forte valeur de capacité : qq  $\mu\text{F}$  à qq F
- Condensateur céramique :  
Faible valeur de capacité : qq pF à qq 100nF

# Le condensateur réel

## modèle équivalent

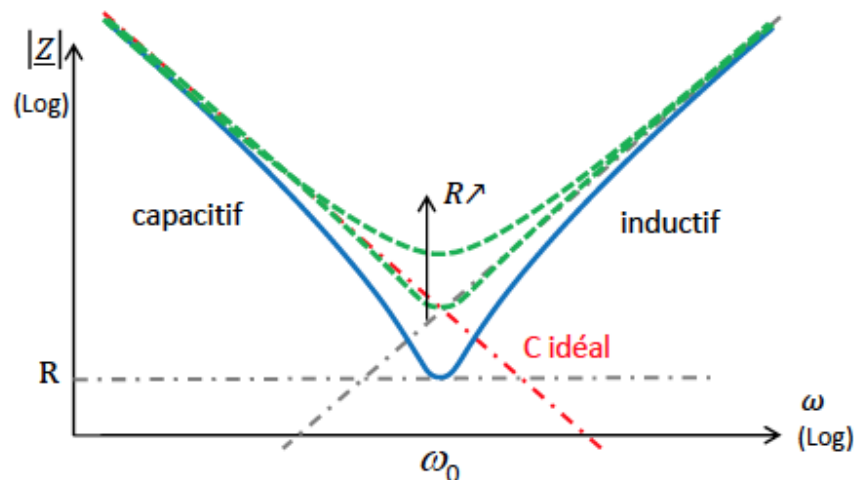


$$\underline{Z} = R + jL\omega + \frac{1}{jC\omega}$$

$$|\underline{Z}| = \sqrt{R^2 + \left(L\omega - \frac{1}{C\omega}\right)^2}$$

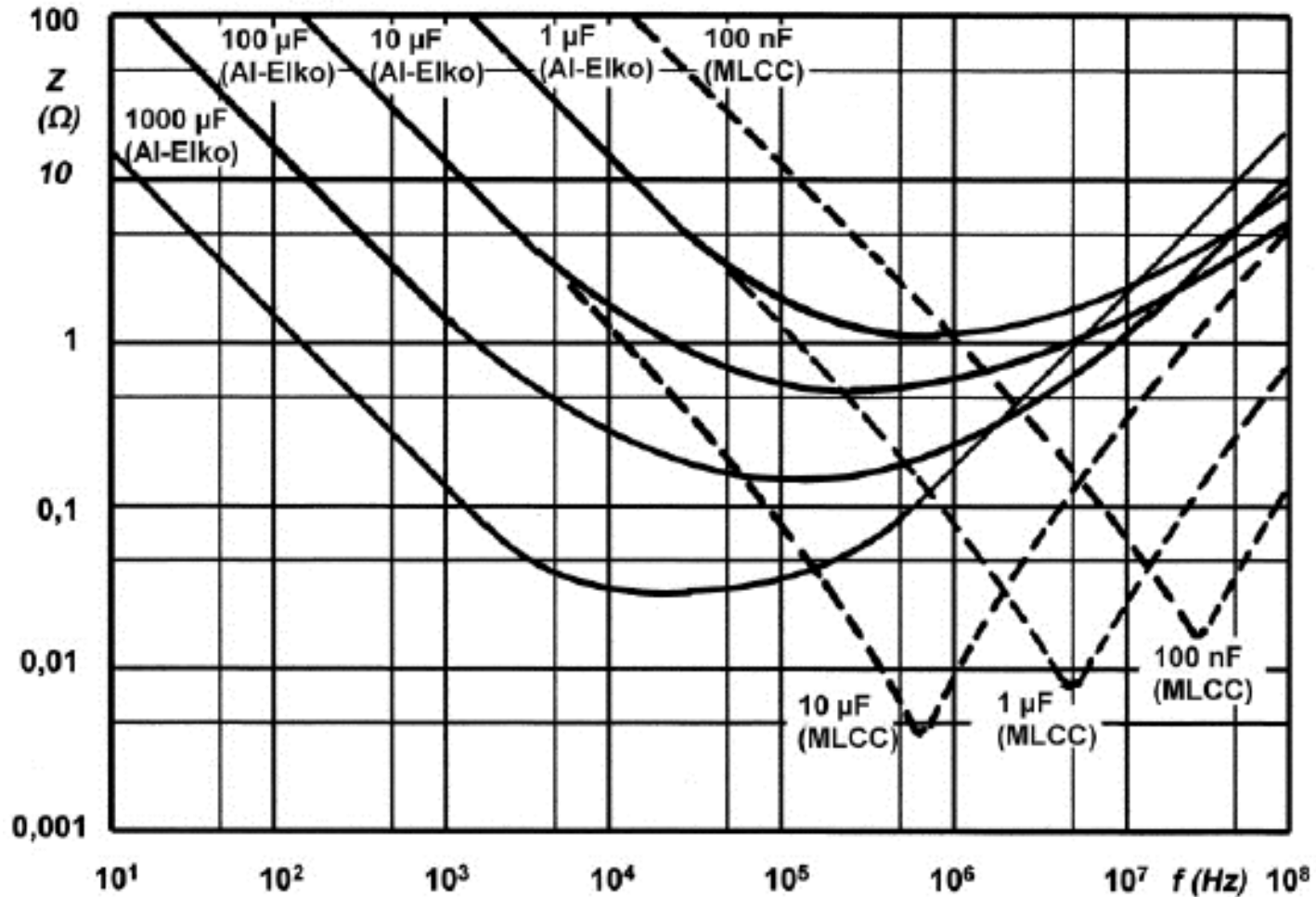
Fréquence de résonance  $f_0 = \frac{1}{2\pi\omega_0}$  avec  $\omega_0 = \frac{1}{\sqrt{LC}}$

- $\omega = \omega_0$ ,  $Z = R$
- $\omega \ll \omega_0$ ,  $Z \simeq \frac{1}{C\omega}$
- $\omega \gg \omega_0$ ,  $Z \simeq L\omega$



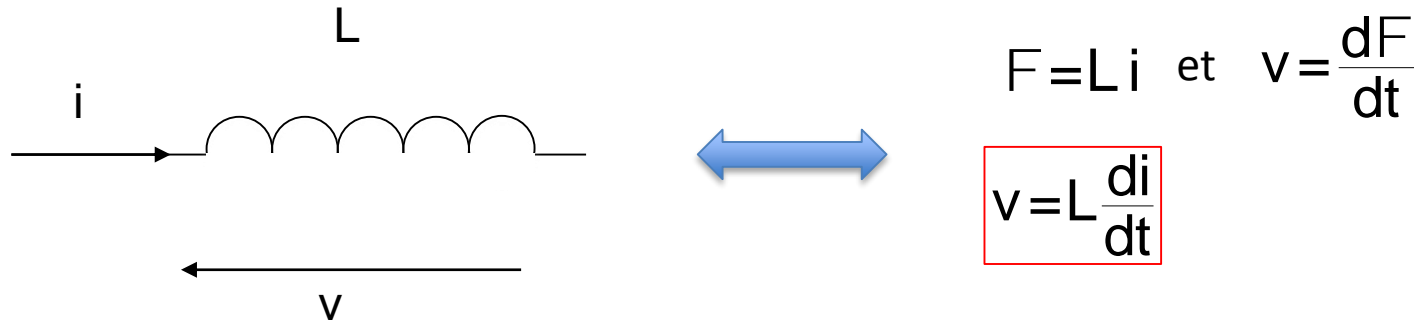
- $Z(\omega)$  possède un minimum, caractéristique d'une résonance de type « série »
- Pour  $R = \sqrt{L/C}$  la courbe de  $Z$  passe par le point d'intersection des asymptotes

# Comparaison MLCC/électrolytique



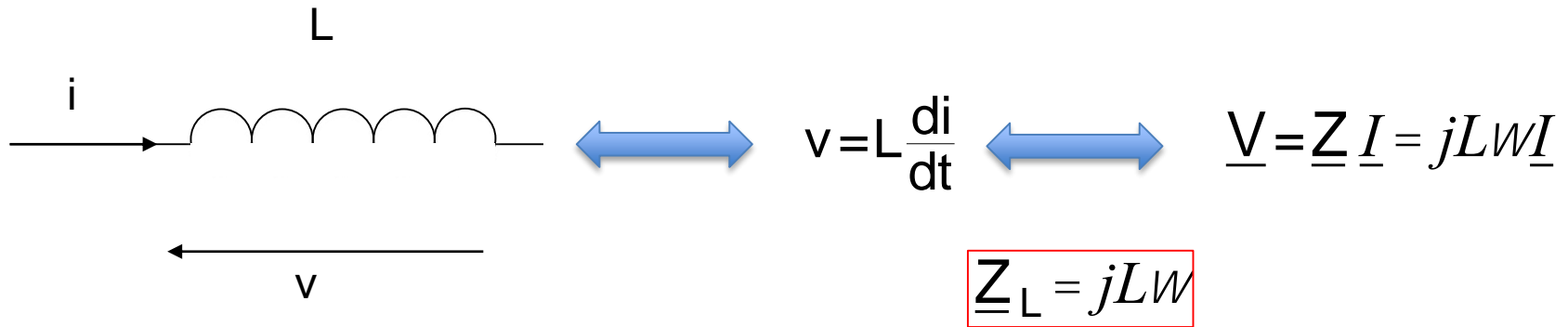
# La bobine idéale

La bobine idéale se modélise par une simple inductance  
 $\Phi$  est le flux magnétique qui traverse la bobine,  
l'inductance  $L$  est définie par  $\Phi = Li$



La tension dans un circuit réel ne pouvant être infinie,  
il ne peut y avoir de variation instantanée du courant  
qui traverse une inductance idéale.

# Les composants idéaux en régime sinusoïdal

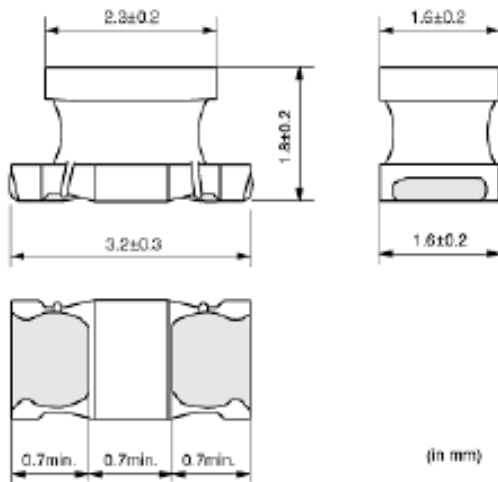


La bobine idéale présente une impédance dont le module varie en  $f$  et dont la phase est égale à  $\pi/2$

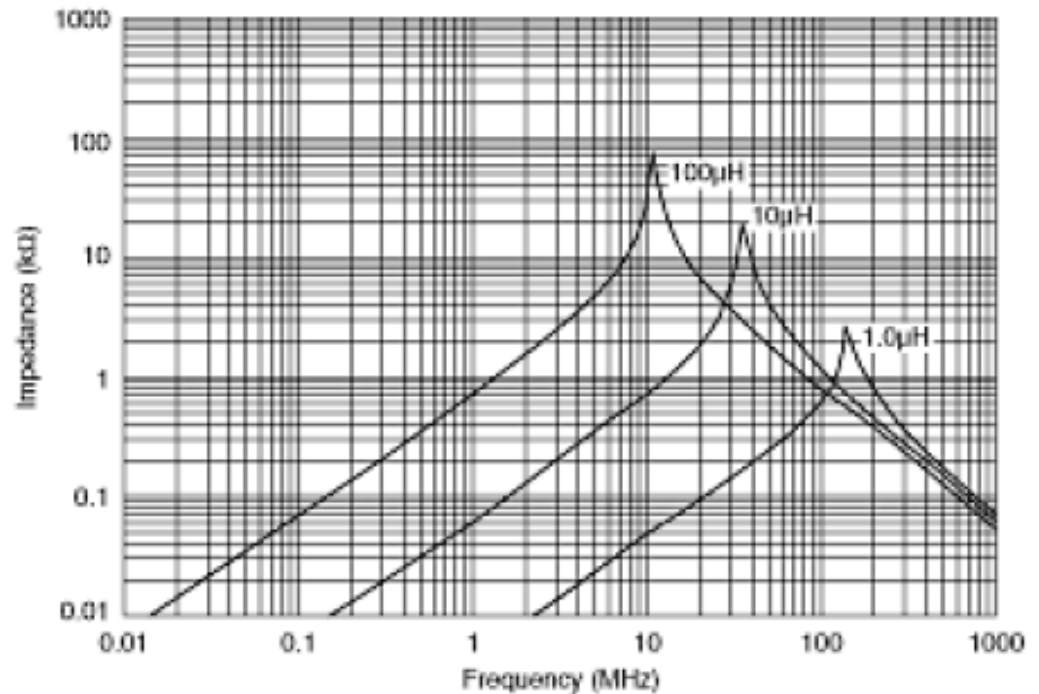


# La bobine réelle

Exemple d'inductances CMS (boîtier 1206)



Extrait datasheet Murata  
Inductance LQH31CN  
[www.murata.com](http://www.murata.com)



# La bobine réelle

## Inductances

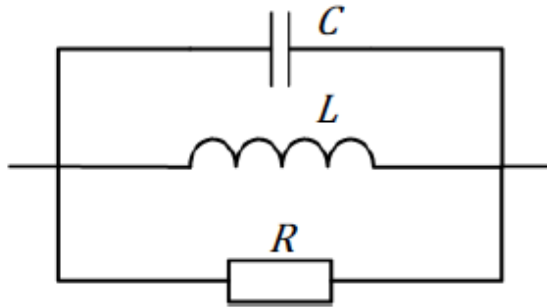
Technologie traversante



Technologie CMS



# La bobine réelle

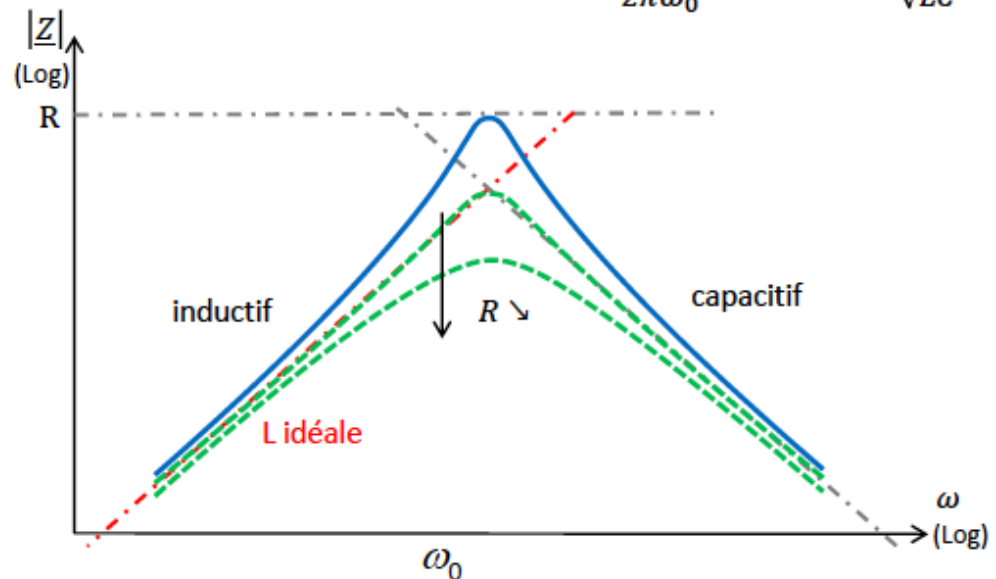


$$\underline{Y} = \frac{1}{R} + \frac{1}{jL\omega} + jC\omega$$

$$|\underline{Z}| = \frac{1}{\sqrt{\frac{1}{R^2} + \left(C\omega - \frac{1}{L\omega}\right)^2}}$$

- $\omega = \omega_0, Z = R$
- $\omega \ll \omega_0, Z \simeq L\omega$
- $\omega \gg \omega_0, Z \simeq \frac{1}{C\omega}$

Fréquence de résonance  $f_0 = \frac{1}{2\pi\omega_0}$  avec  $\omega_0 = \frac{1}{\sqrt{LC}}$



- $Z(\omega)$  possède un maximum, caractéristique d'une résonance de type « parallèle »
- Pour  $R = \sqrt{L/C}$  la courbe de  $Z$  passe par le point d'intersection des asymptotes

# Propagation

Quand la longueur d'onde est grande  
devant les dimensions des circuits...

# Notion de propagation d'onde

## Les ronds dans l'eau



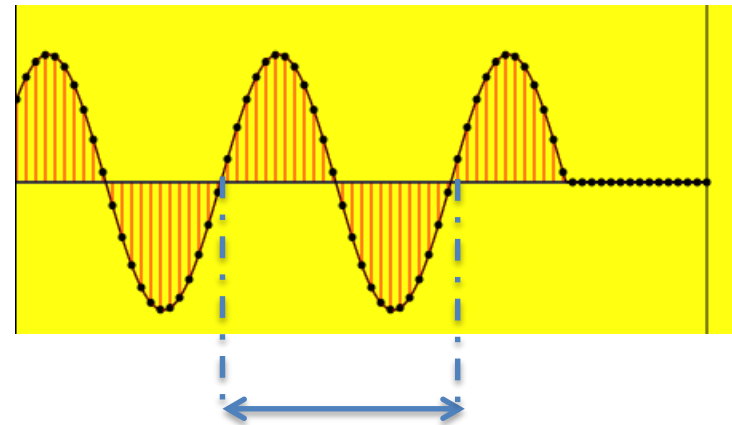
Expérience commune

<https://www.youtube-nocookie.com/embed/xjfd-gu1vA4>

<https://www.youtube-nocookie.com/embed/iWKFPTgkpXo>

[http://www.walter-fendt.de/html5/phen/standingwavereflection\\_en.htm](http://www.walter-fendt.de/html5/phen/standingwavereflection_en.htm)

## Agitation d'une corde



Longueur d'onde  $\lambda$

# propagation

Le phénomène de propagation existe toujours, cependant on peut ne pas en tenir compte si les dimensions du circuit sont beaucoup plus faibles que la longueur d'onde.

$$\lambda = \frac{V_p}{f}$$

$\lambda$  : Longueur d'onde

$V_p$  : Vitesse de propagation

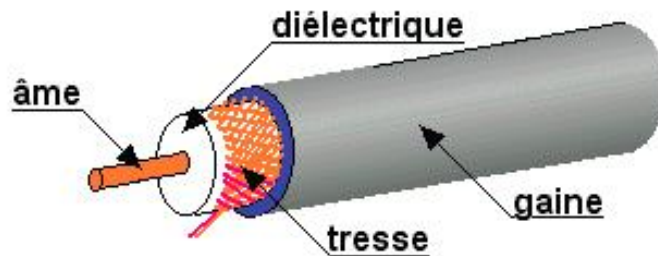
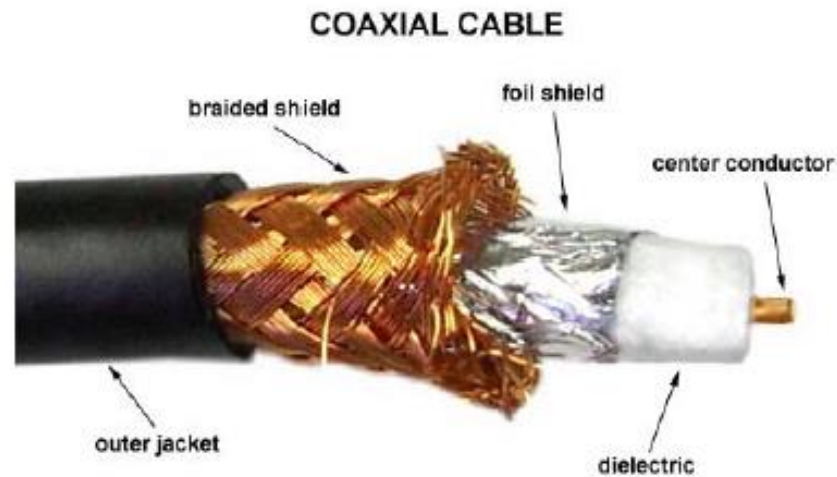
$f$  : fréquence

Exemple : onde électromagnétique  $f=300$  MHz dans le vide ( $V_p = 3 \cdot 10^8$  m/s),  $\lambda = 1$  m .

# Le câble coaxial



# Le câble coaxial

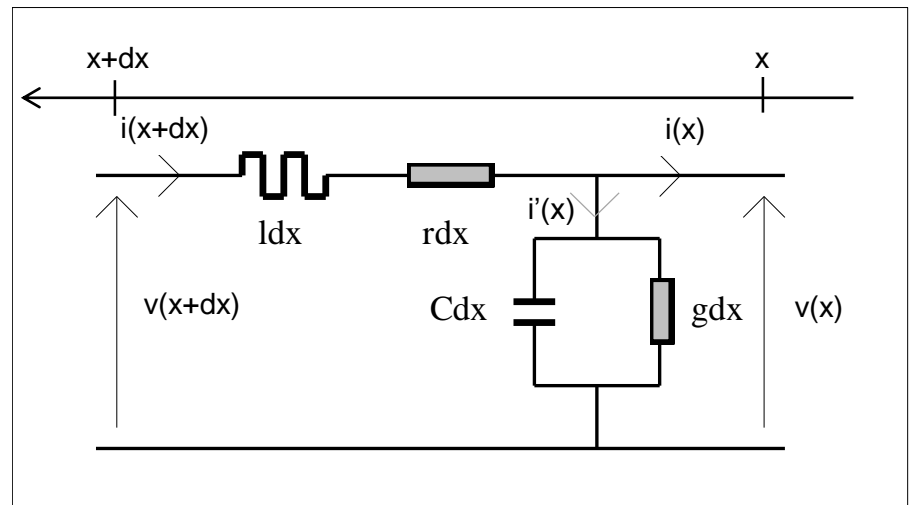




# Le câble coaxial

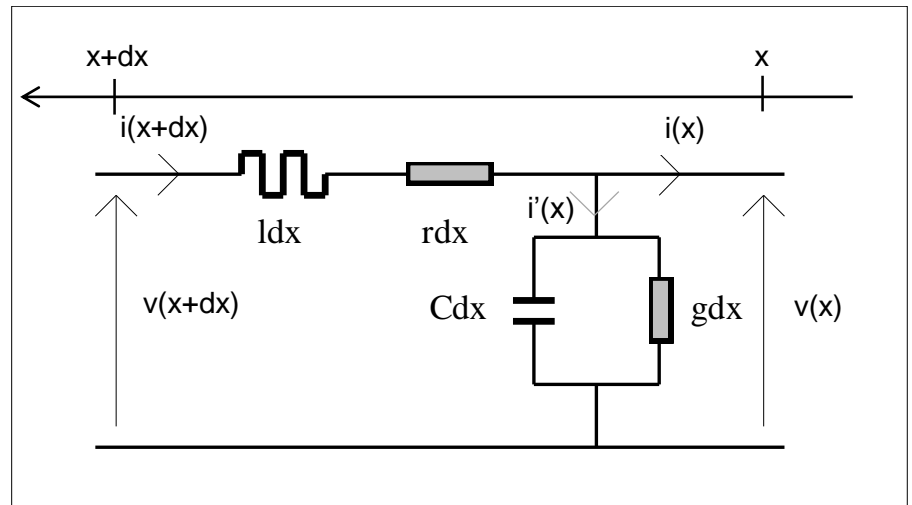
En BF on a juste 2 courts-circuits qui  
relient une générateur à une charge

En HF on doit considérer le  
phénomène de propagation  
on modélise alors chaque  
tronçon de la ligne par le  
circuit :



# Equations de propagation

Si on applique la loi de la maille et la loi du noeud,  $v(x,t)$  et  $i(x,t)$  vérifient les équations :

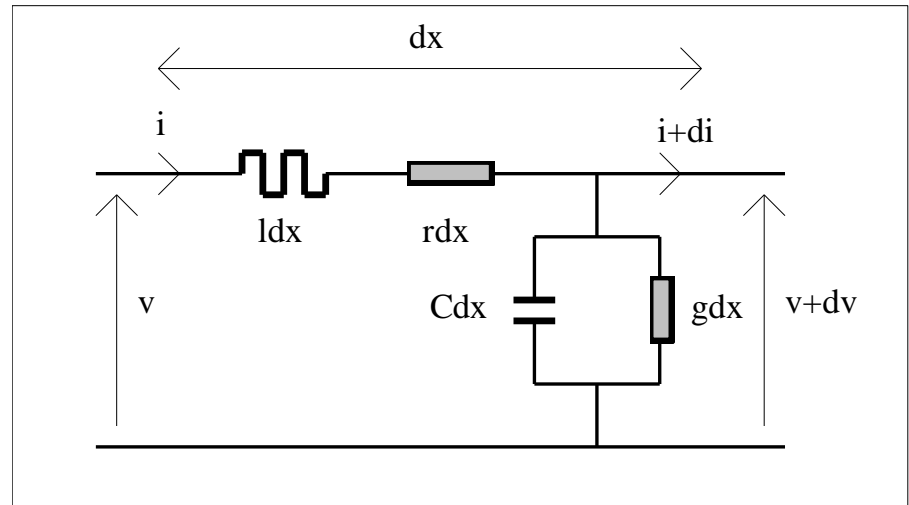


$$\frac{\partial^2 v(x,t)}{\partial x^2} = lC \frac{\partial^2 v(x,t)}{\partial t^2} + (rC + lg) \frac{\partial v(x,t)}{\partial x} + rg.v(x,t)$$

$$\frac{\partial^2 i(x,t)}{\partial x^2} = lC \frac{\partial^2 i(x,t)}{\partial t^2} + (rC + lg) \frac{\partial i(x,t)}{\partial x} + rg.i(x,t)$$

# Equations de propagation

Si on considère une ligne sans perte,  
C'est à dire  $r = 0$  et  $g = \infty$



$$\frac{\partial^2 v(x,t)}{\partial x^2} = lC \frac{\partial^2 v(x,t)}{\partial t^2}$$

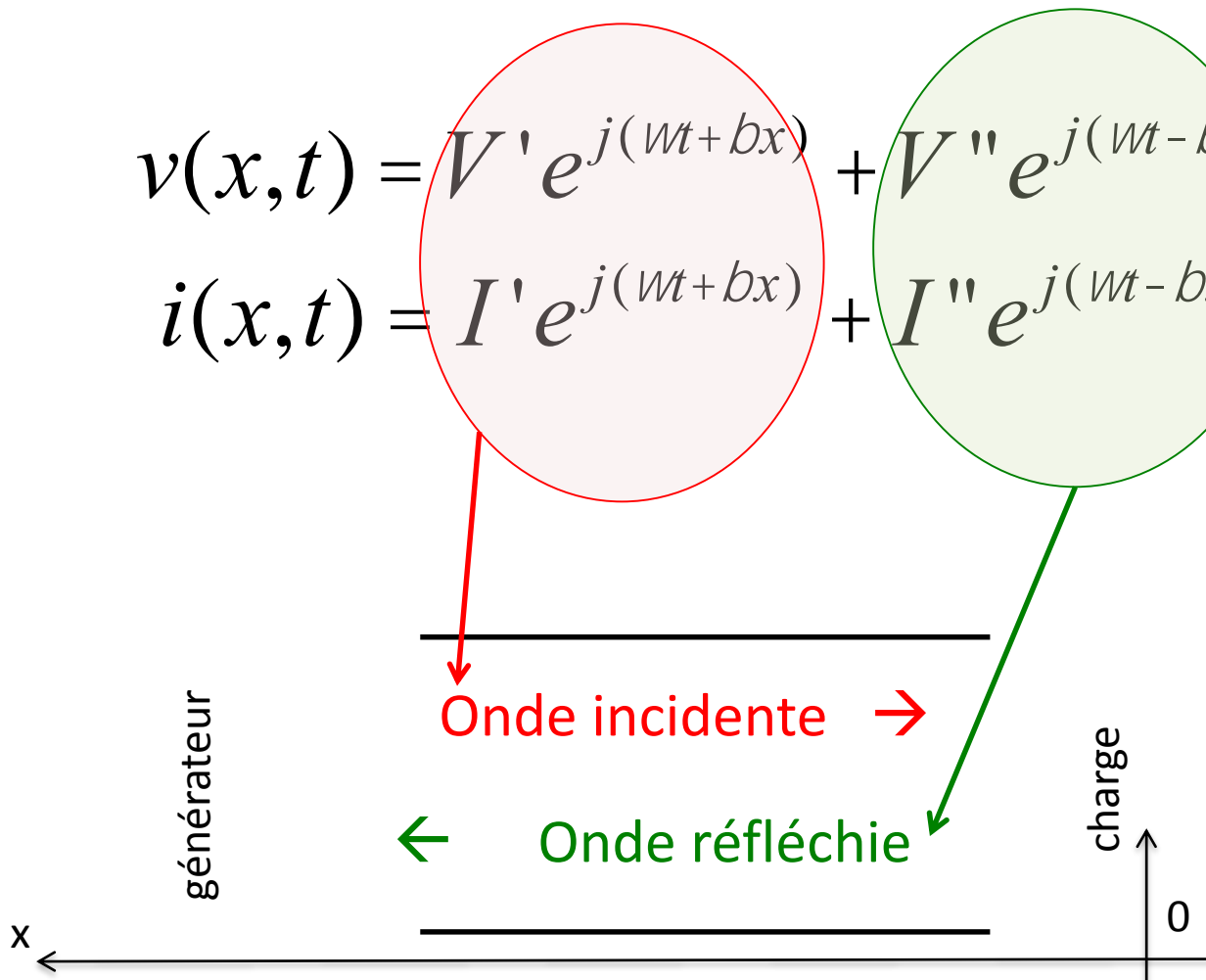
$$\frac{\partial^2 i(x,t)}{\partial x^2} = lC \frac{\partial^2 i(x,t)}{\partial t^2}$$

# Câble coaxial en régime sinusoïdal

La résolution des équations de propagation donne :

$$v(x,t) = V' e^{j(\omega t + bx)} + V'' e^{j(\omega t - bx)}$$

$$i(x,t) = I' e^{j(\omega t + bx)} + I'' e^{j(\omega t - bx)}$$



# Câble coaxial en régime sinusoïdal

La résolution des équations de propagation donne :

$$v(x,t) = V' e^{j(\omega t + bx)} + V'' e^{j(\omega t - bx)}$$

avec

$$i(x,t) = I' e^{j(\omega t + bx)} + I'' e^{j(\omega t - bx)} \quad b = \omega \sqrt{LC}$$

Pulsation  $\omega = \frac{2\pi}{T}$

$b = \frac{2\pi}{\lambda}$  Constante de propagation

T est la période dans le temps

$\lambda$  est la période dans l'espace

# vitesse de propagation

$$V_p = \frac{W}{b}, \quad V_p = \frac{1}{\sqrt{lC}}$$

La vitesse de propagation est donnée par le rapport de la pulsation sur la constante de propagation

# Impédance caractéristique

On peut montrer que la tension et le courant peuvent s'écrire :

$$v(x,t) = V' e^{j(\omega t + bx)} + V'' e^{j(\omega t - bx)}$$

$$i(x,t) = \frac{1}{Z_c} (V' e^{j(\omega t + bx)} - V'' e^{j(\omega t - bx)})$$

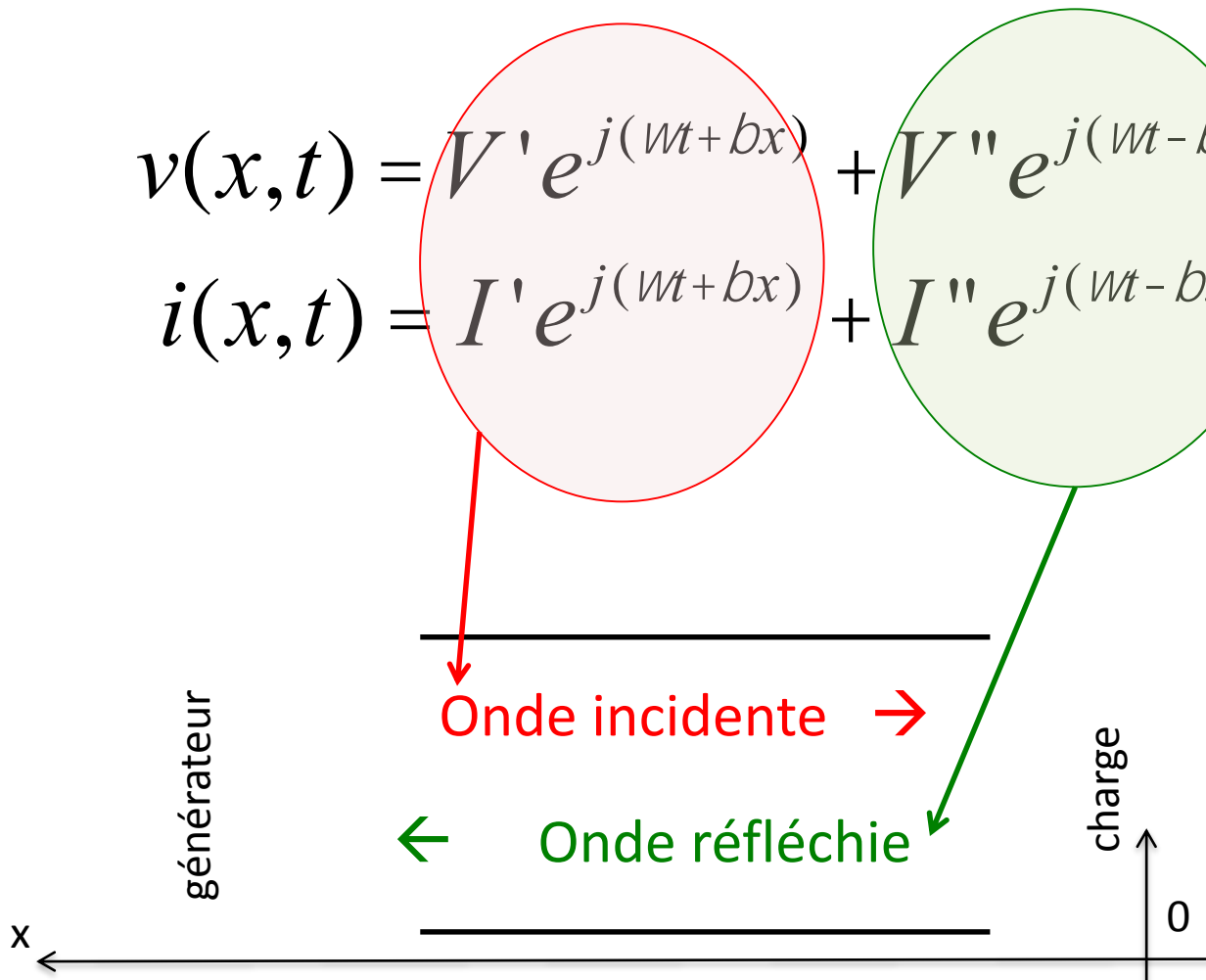
$$Z_c = \sqrt{\frac{l}{C}}$$

# Câble coaxial en régime sinusoïdal

La résolution des équations de propagation donne :

$$v(x,t) = V' e^{j(\omega t + bx)} + V'' e^{j(\omega t - bx)}$$

$$i(x,t) = I' e^{j(\omega t + bx)} + I'' e^{j(\omega t - bx)}$$

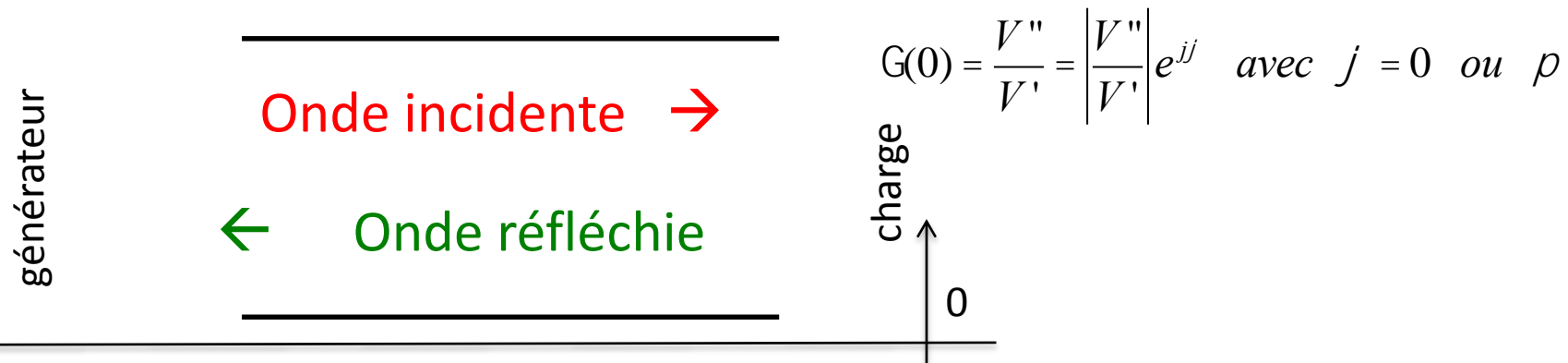




# Coefficient de réflexion

$$G(x) = \frac{V'' e^{j(\omega t - bx)}}{V' e^{j(\omega t + bx)}}, \quad G(x) = \frac{V''}{V'} e^{-j2bx}$$

Quand on se déplace le long du câble, le module du coefficient de réflexion est constant, seule sa phase varie.

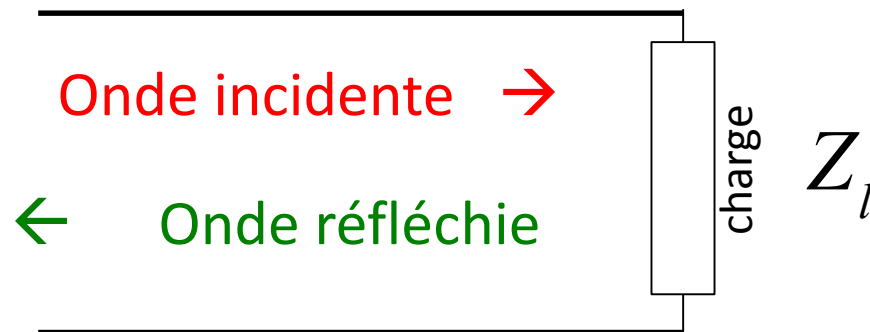


# Coefficient de réflexion

En bout de ligne , au niveau de la charge  $Z_l$  ( $x=0$ )

$$G(0) = \frac{V''}{V'} = \left| \frac{V''}{V'} \right| e^{jj} \quad \text{avec } j = 0 \text{ ou } \rho$$

$$G(0) = \frac{Z_l - Z_c}{Z_l + Z_c}$$

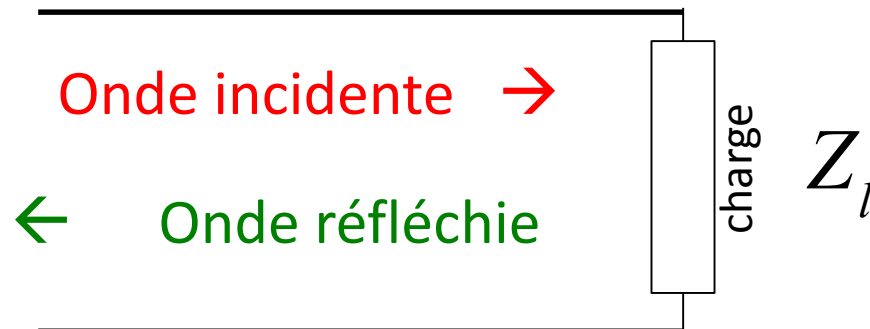


# Rapport d'Onde Stationnaire

$$ROS = \frac{|V'| + |V''|}{|V'| - |V''|} \qquad ROS = \frac{1 + |G|}{1 - |G|}$$

[http://www.walter-fendt.de/html5/phen/standingwavereflection\\_en.htm](http://www.walter-fendt.de/html5/phen/standingwavereflection_en.htm)

[https://phet.colorado.edu/sims/html/wave-on-a-string/latest/wave-on-a-string\\_en.html](https://phet.colorado.edu/sims/html/wave-on-a-string/latest/wave-on-a-string_en.html)

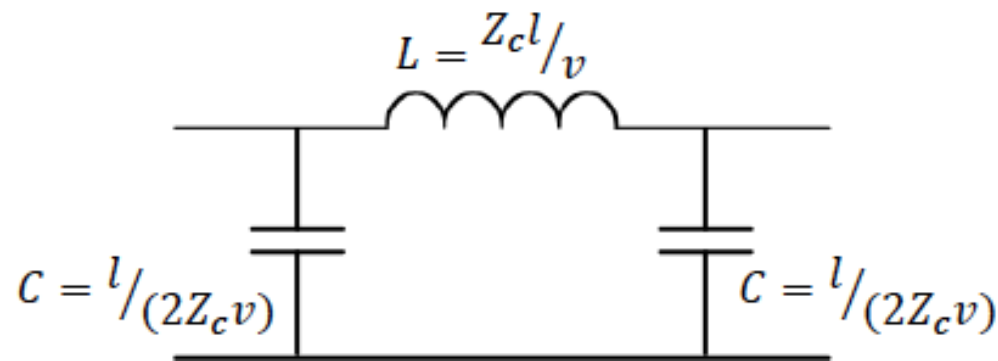


# Influence des câbles en électronique numérique

## Problématique:

Aux fréquences élevées, l'impédance des fils d'alimentation a une influence sur la tension aux bornes des circuits

Schéma équivalent (modèle en  $\Pi$ ) d'un tronçon de ligne sans pertes et de longueur  $l < \lambda$



$v$  : vitesse de propagation  
 $Z_c$  : impédance caractéristique

Exemple: câble coaxial RG58 :

$$v = \frac{1}{\sqrt{\epsilon\mu}} \quad Z_c = \frac{1}{2\pi} \sqrt{\frac{\mu}{\epsilon}} \ln \frac{D}{d}$$

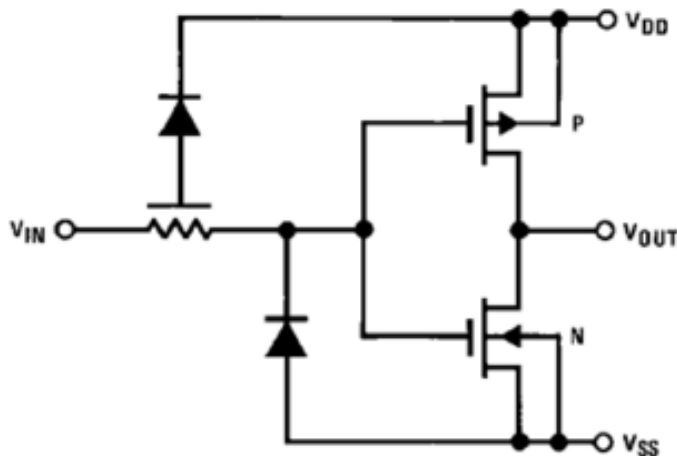
$$v \simeq 2 \cdot 10^8 \text{ m/s} \quad Z_c = 50 \Omega$$

$l = 40 \text{ cm}$ ,  $v = 2 \cdot 10^8 \text{ ms}^{-1} \rightarrow L = 100 \text{ nH}$  et  $C = 20 \text{ pF}$

# Influence des câbles en électronique numérique

## Cas de l'inverseur CMOS (CD4069)

### Architecture interne



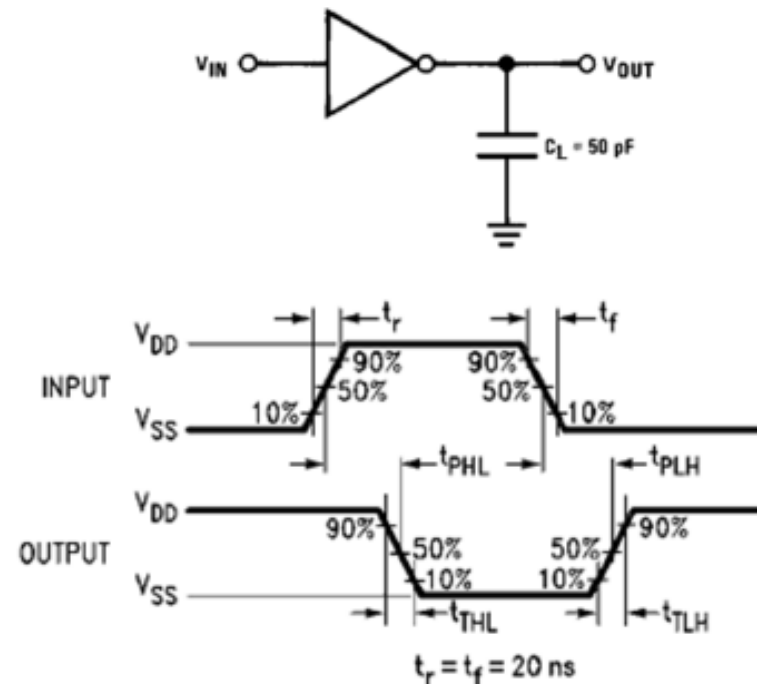
Extrait datasheet CD4069UBC  
[www.fairchildsemi.com](http://www.fairchildsemi.com)

Hypothèses:

**MOS passant = résistance**

**MOS bloqué = circuit ouvert**

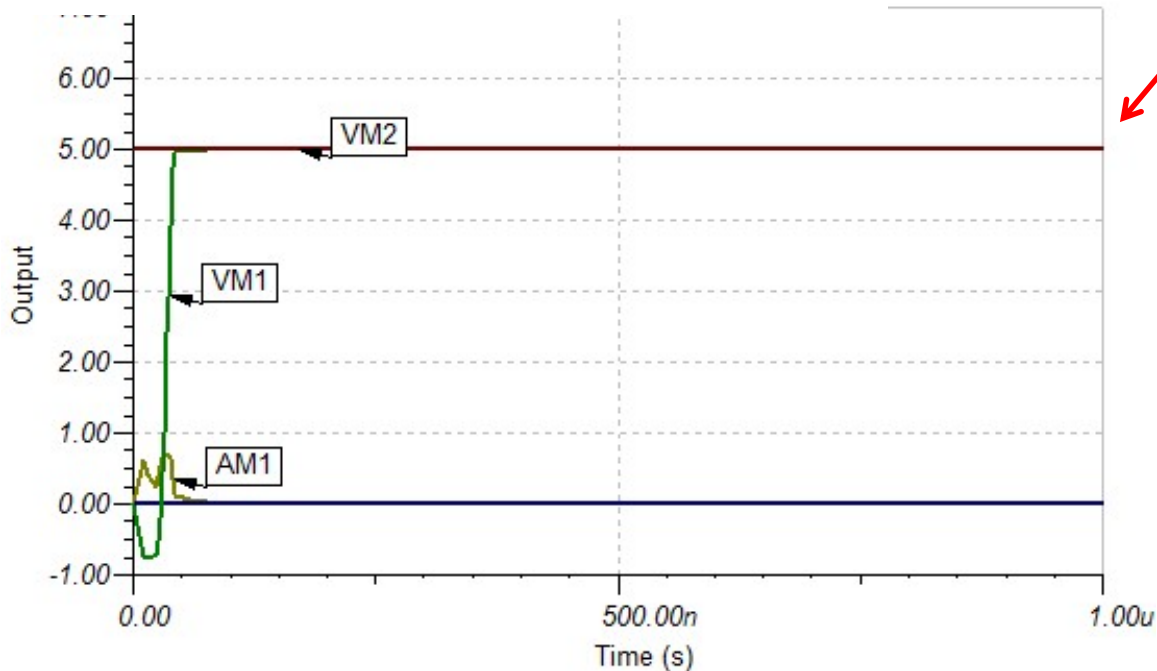
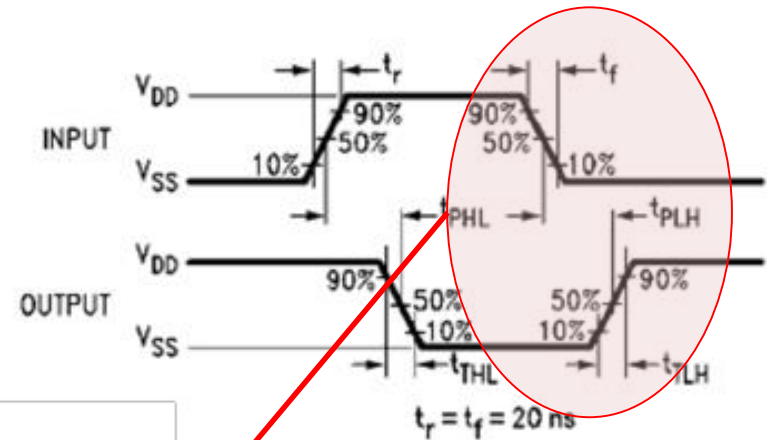
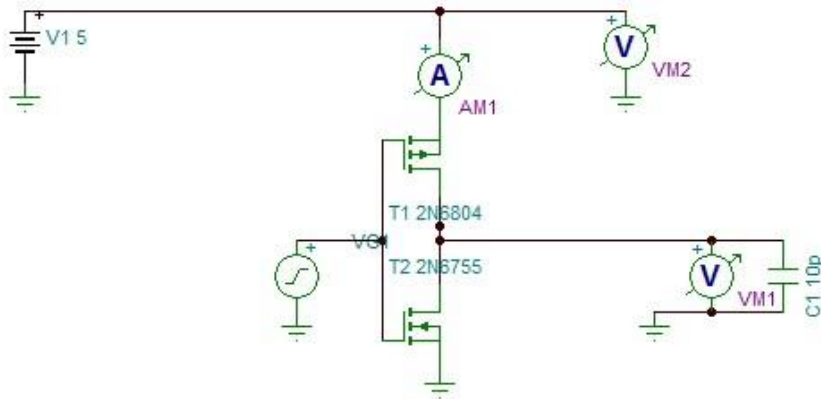
## Caractéristiques dynamiques



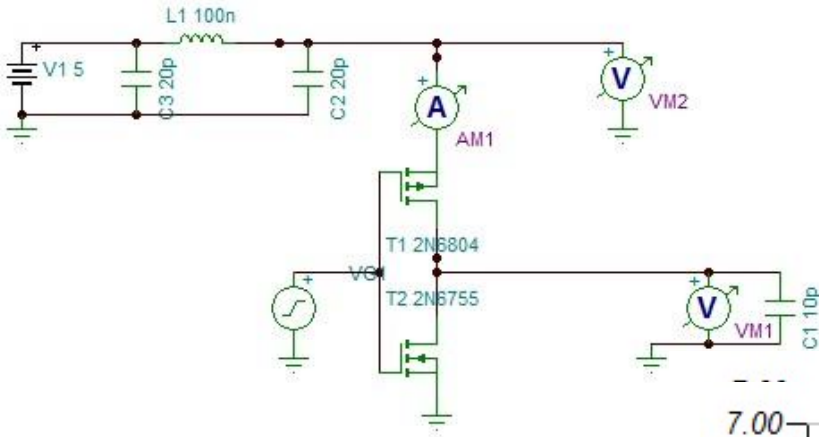
Temps de montée  $t_{TLH} = 80\text{ns}$  (typ. @  $V_{DD}=5\text{V}$ )

$$R_{PMOS} = \frac{\Delta t_{TLH}}{2,2C_L} \approx 730\Omega$$

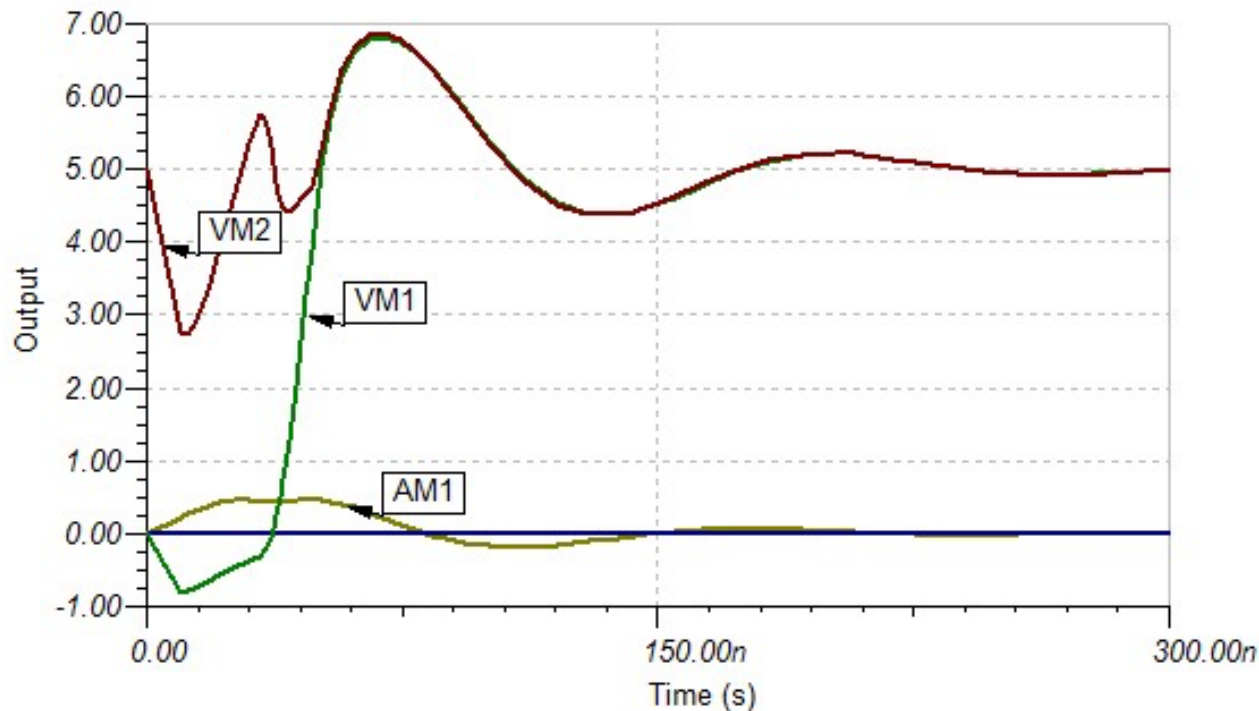
# Inverseur CMOS avec ligne d'alimentation idéale



# Inverseur CMOS avec ligne d'alimentation réelle

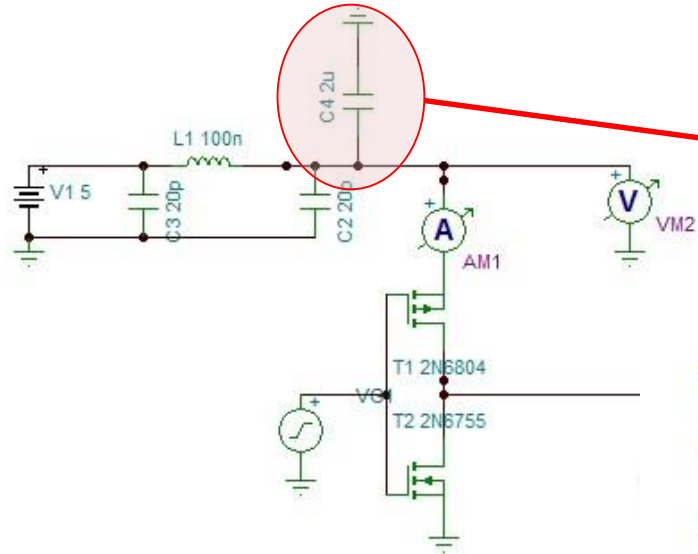


La tension d'alimentation n'arrive plus !



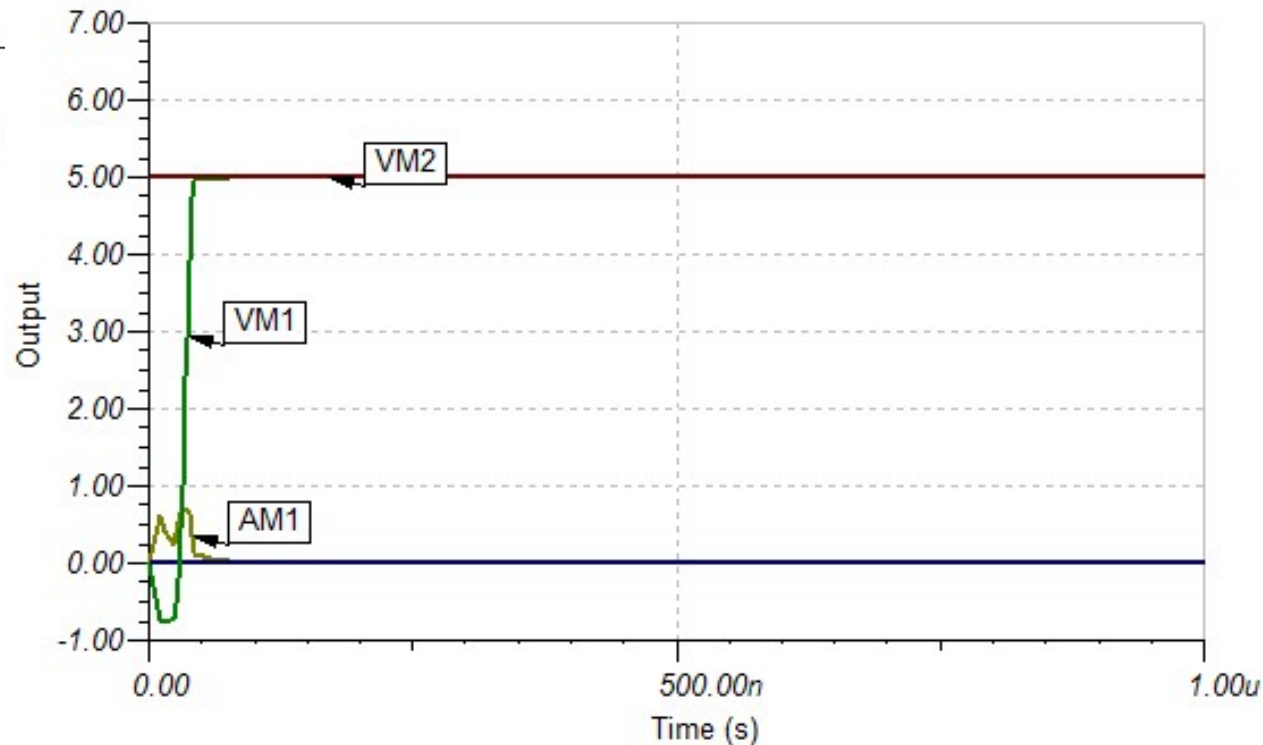
Pour résoudre ce problème on place au plus près du circuit CMOS un condensateur dit de découplage entre l'entrée  $V_{DD}$  et la masse

# Inverseur CMOS avec ligne d'alimentation réelle et capacité de découplage



Condensateur de découplage

Le condensateur de découplage agit comme un réservoir de charge



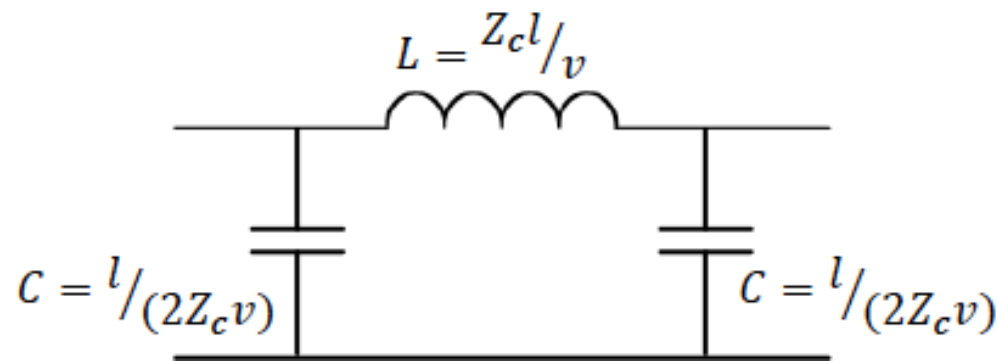


# Influence des câbles en électronique numérique

## Problématique:

Aux fréquences élevées, l'impédance des fils d'alimentation a une influence sur la tension aux bornes des circuits

Schéma équivalent (modèle en  $\Pi$ ) d'un tronçon de ligne sans pertes et de longueur  $l < \lambda$



$v$  : vitesse de propagation  
 $Z_c$  : impédance caractéristique

Exemple: câble coaxial RG58 :

$$v = \frac{1}{\sqrt{\epsilon\mu}} \quad Z_c = \frac{1}{2\pi} \sqrt{\frac{\mu}{\epsilon}} \ln \frac{D}{d}$$

$$v \simeq 2.10^8 \text{m/s} \quad Z_c = 50\Omega$$